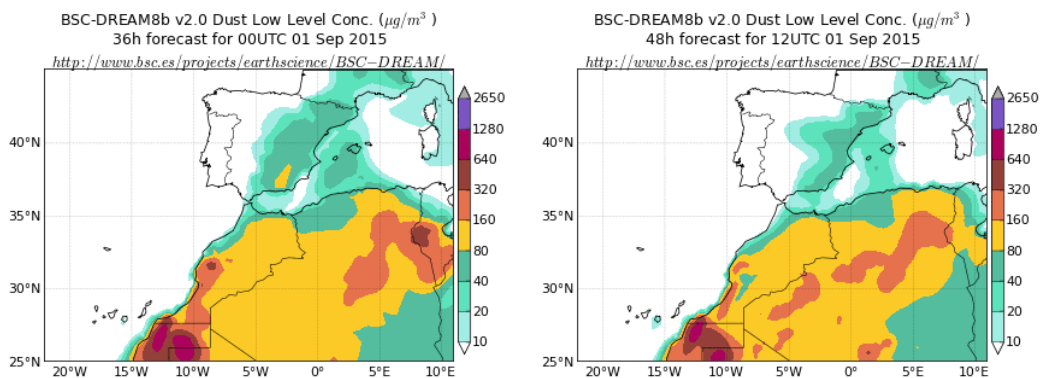


Predicción de intrusión de masas de aire africano sobre España para el día 1 de septiembre de 2015

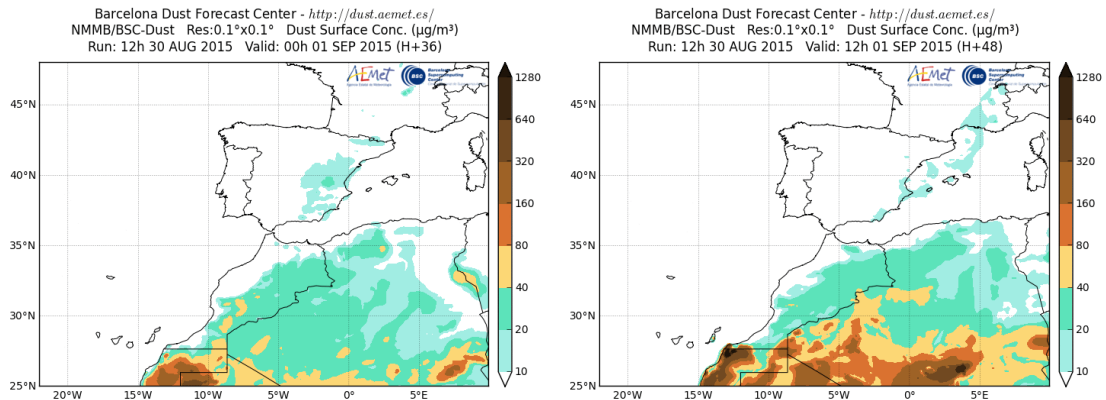
Los modelos prevén la presencia de masas de aire africano sobre la mitad este de la Península a lo largo del día 1 de septiembre. Estiman concentraciones de polvo a nivel de superficie que podrían estar en el rango 10-20 $\mu\text{g}/\text{m}^3$ para el centro y noreste de la Península y las islas Baleares. Estos niveles podrían superarse en el sureste y este de la Península. Según el modelo SKIRON, también podría producirse depósito seco de polvo sobre el sureste de la Península, y húmedo sobre la mitad este peninsular.

El modelo BSC-DREAM8b v2.0 prevé la presencia de masas de aire africano a nivel de superficie sobre la mitad este peninsular y las islas Baleares para el día 1 de septiembre. Estima concentraciones de polvo en el rango 10-80 $\mu\text{g}/\text{m}^3$ para el este, centro y noreste peninsular y las islas Baleares, y se podrían superar estos niveles en el sureste de la Península.



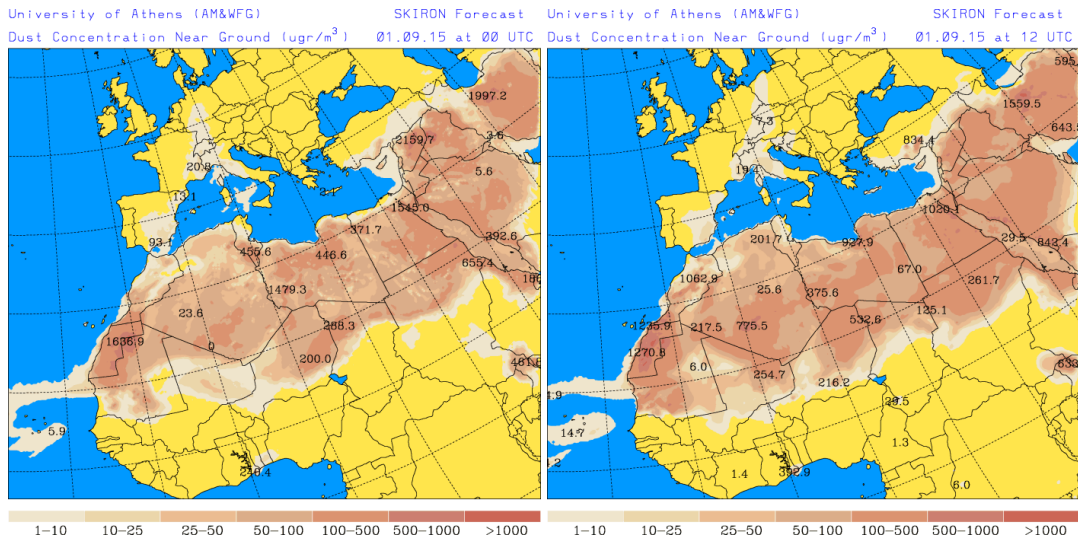
Concentración de polvo ($\mu\text{g}/\text{m}^3$) predicha por el modelo BSC-DREAM8b v2.0 para el día 1 de septiembre de 2015 a las 00 UTC (izquierda) y a las 12 UTC (derecha). © Barcelona Supercomputing Center.

El modelo NMMB/BSC-Dust prevé la presencia de masas de aire africano sobre las mismas zonas que el modelo DREAM, aunque estima concentraciones de polvo en superficie más bajas para todas las zonas afectadas, en el rango 10-20 $\mu\text{g}/\text{m}^3$, aunque estos niveles podrían superarse en el este peninsular.



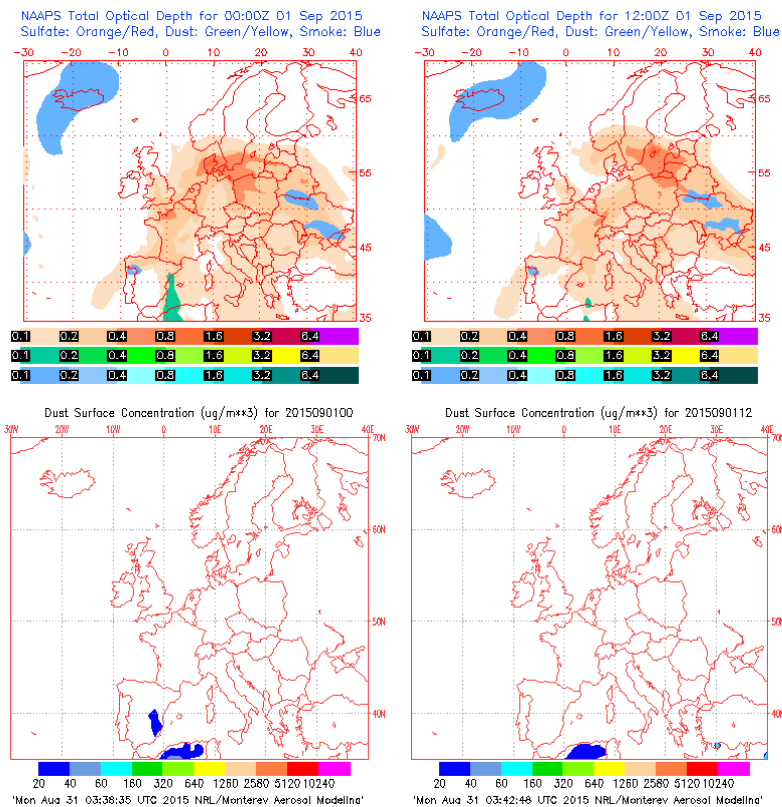
Concentración de polvo ($\mu\text{g}/\text{m}^3$) predicha por el modelo NMMB/BSC-Dust para el día 1 de septiembre de 2015 a las 00 UTC (izquierda) y a las 12 UTC (derecha). © Barcelona Dust Forecast Center.

El modelo SKIRON prevé también la presencia de masas de aire africano en superficie sobre la Península para el día 1 de septiembre. Estima concentraciones de polvo en los rangos $10\text{-}50 \mu\text{g}/\text{m}^3$ para el sureste peninsular, $10\text{-}25 \mu\text{g}/\text{m}^3$ para el este, e inferiores a $10 \mu\text{g}/\text{m}^3$ para el noreste y centro de la Península y las islas Baleares.



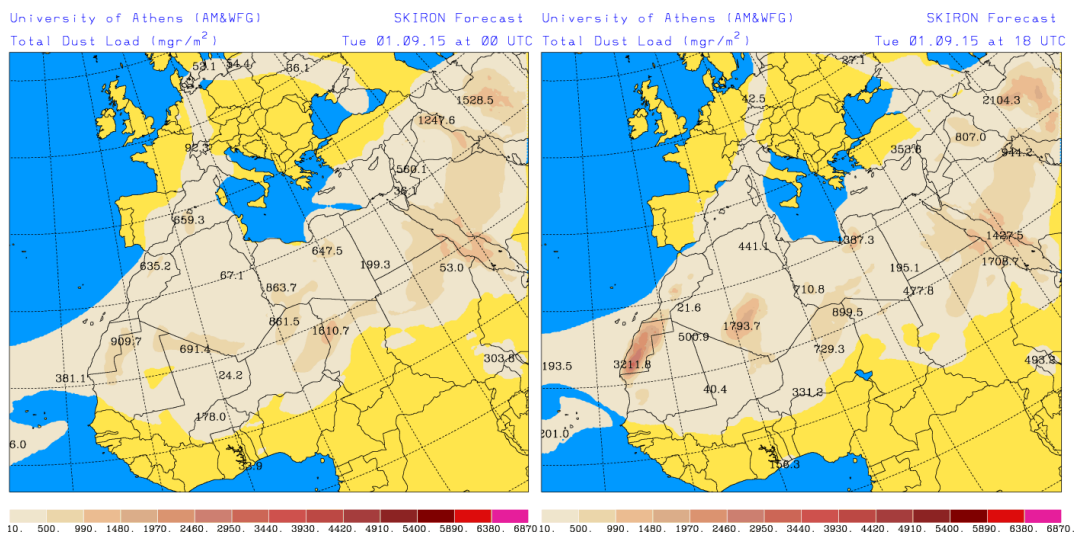
Concentración de polvo ($\mu\text{g}/\text{m}^3$) predicha por el modelo SKIRON para el día 1 de septiembre de 2015 a las 00 UTC (izquierda) y a las 12 UTC (derecha). © Universidad de Atenas.

El modelo NAAPS prevé la presencia de las masas de aire africano sobre zonas del sureste y este peninsular para el día 1 de septiembre. Estima concentraciones de polvo en el rango $20\text{-}40 \mu\text{g}/\text{m}^3$.

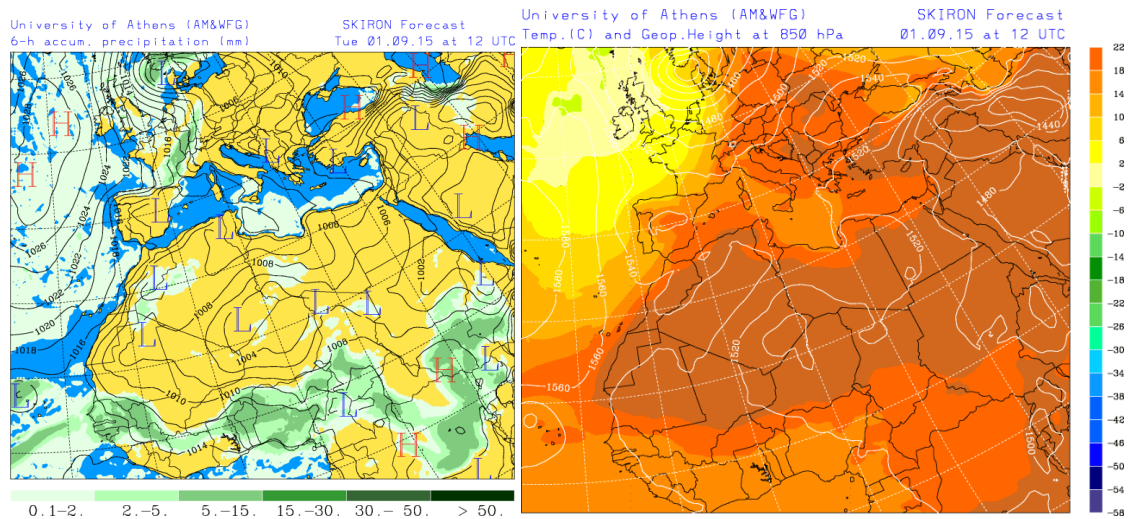


Espesor óptico de aerosoles a 550 nm (arriba) y concentración de polvo a nivel de superficie (abajo) previstos por el modelo NAAPS para el día 1 de septiembre de 2015 a las 00:00 UTC. ©Naval Research Laboratory (NRL), Monterey, CA.

Los mapas de carga total de polvo, así como los de presión a nivel del mar y de altura geopotencial a nivel de 850 hPa proporcionados por el modelo SKIRON muestran la presencia de masas de aire africano sobre el este de la Península, las islas Baleares y las Canarias a lo largo del día 1 de septiembre.

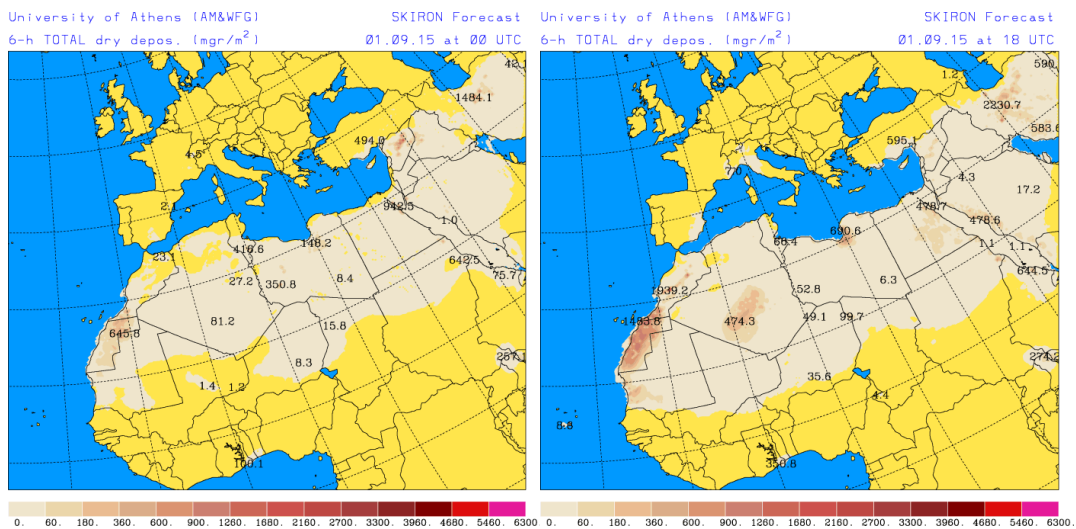


Carga total de polvo (mg/m^2) predicha por el modelo SKIRON para el día 1 de septiembre de 2015 a las 00 UTC (izquierda) y a las 18 UTC (derecha). © Universidad de Atenas.



Precipitación acumulada (mm) y presión a nivel del mar (hPa) (izquierda) y campo de temperaturas (°C) y de altura de geopotencial a 850 hPa (derecha) previsto por el modelo SKIRON para el día 1 de septiembre de 2015 a las 12 UTC. © Universidad de Atenas.

Según el modelo SKIRON, también podría producirse depósito seco de polvo sobre el sureste de la Península, y húmedo sobre la mitad este peninsular.



Depósito seco de polvo (mg/m^2) predicho por el modelo SKIRON para el día 1 de septiembre de 2015 a las 00 UTC (izquierda) y a las 18 UTC (derecha). © Universidad de Atenas.

